

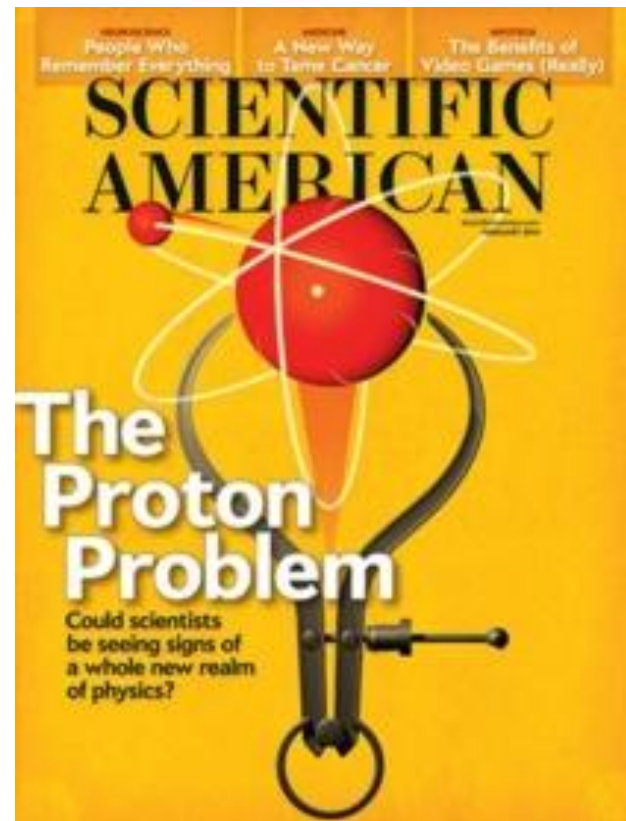
# Effects of Muon Magnetic Field on Proton Radius

二松学舎大

岩崎 愛一

hep-ph/1408.2413

Feb. 2014



# 陽子半径問題 proton radius puzzle

〔電子散乱  
水素原子のスペクトル

陽子半径

$$r_c \approx 0.88 \text{ fm}$$

CODATA 2010  
arXiv:1203.5425v1

$$r_c \equiv \sqrt{\int d^3x r^2 \rho_c} \equiv \sqrt{\langle r^2 \rangle}, \quad \rho_c = \text{電荷分布}$$

ところが



Muon 水素原子のスペクトル

大きな不一致

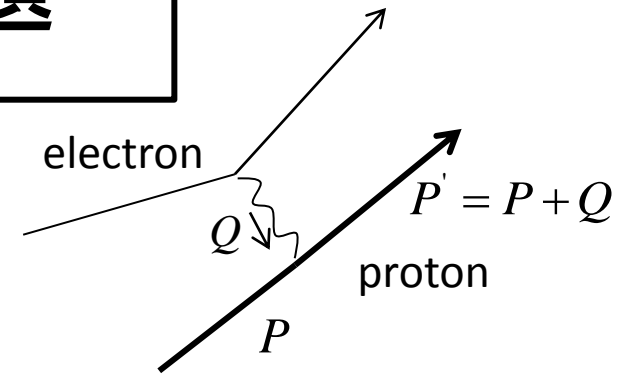
$$r_c \approx 0.84 \text{ fm}$$

Pohl R, Antognini , et al., Nature 466:213  
(2010).

Antognini A, et al., Science 339:417 (2013).  
PSI (Paul Scherrer Institute )

# 陽子半径問題

## 電子散乱



$$r_p^2 \equiv -6 \frac{dG_E(Q^2)}{dQ^2} \Big|_{Q^2=0}, \quad G_E(Q^2) \text{ Sachs } \underline{\text{electric form factor}}$$

$Q$  transferred momentum

点電荷  $\begin{cases} G_E(Q^2) = 1 \\ V_{point} = \alpha / r \end{cases}$

$$\langle P' | J^0 | P \rangle = 2M_p G_E(Q^2); \quad Q^\mu = (Q^0 = 0, 0, 0, Q)$$

in Brait frame

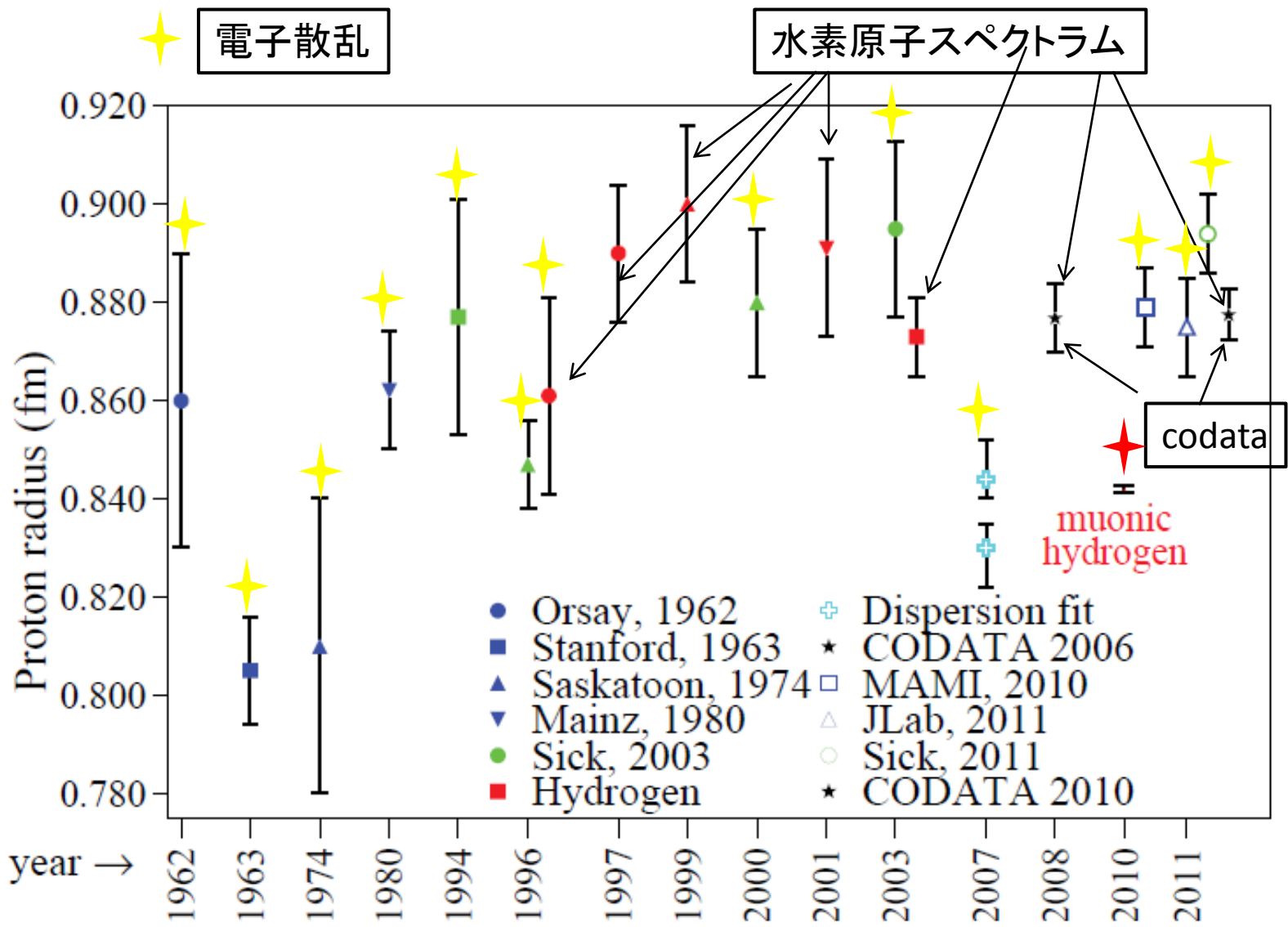
点電荷ポテンシャル

からのずれ

$$\delta V = V(r) - V_{point}(r) = -4\pi\alpha \int \frac{d^3 q}{(2\pi)^3} \frac{G_E(q^2) - 1}{q^2} \exp(-iq\vec{r})$$

$$= \frac{2\pi\alpha}{3} \delta^3(r) r_p^2, \text{ when } G_E(q^2) \approx 1 - \frac{q^2 r_p^2}{6}$$

$\text{as } q^2 \rightarrow 0$



R. Pohl, et.al.  
Ann.Rev.Nucl.Part.Sci. 63 (2013)

# 陽子半径問題

## 水素原子のスペクトル

(  $1S_{1/2} - 2S_{1/2}$ ;  $2466061413187.080(34)$  kHz )  
Dirac eigenvalue  $\propto \alpha^2 m_e$

Relativistic recoil  $\propto \alpha^5 m_e (m_e/M_p)$

Electron self energy  $\propto \alpha^5 m_e$  

Vacuum polarization  $\propto \alpha^5 m_e$  

Two-photon corrections  $\propto \alpha^6 m_e$  

Three-photon corrections  $\propto \alpha^7 m_e$

Finite nuclear size  $\propto \alpha^4 m_e (\underline{m_e^2 r_p^2})$

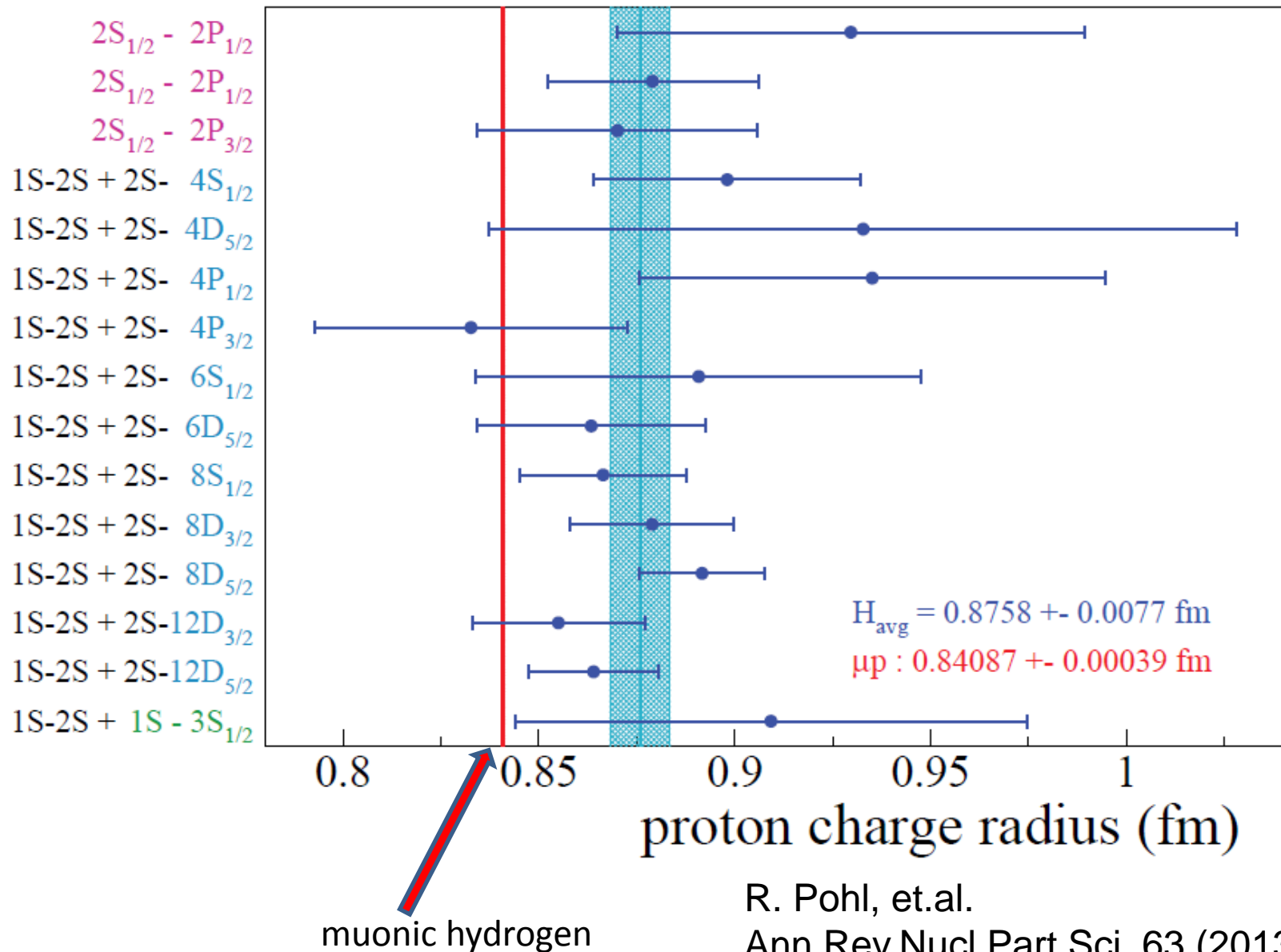
...

$$1 \text{ kHz} \cong 4.1 \times 10^{-12} \text{ eV}$$

理論値と実験値  
の比較

$$r_p \cong 0.88 \text{ fm}$$

# 水素原子スペクトラムを用いた陽子半径



# 陽子半径問題

水素原子のスペクトルの解析



Rydberg constant  $R_\infty$  and proton radius  $r_p$

$$R_\infty \equiv \frac{\alpha^2 m_e}{4\pi} \cong 10\,973\,731.568\text{m}^{-1}$$

$$r_p = 0.875\text{fm} \sim 0.879\text{fm} (\cong 0.88\text{fm})$$

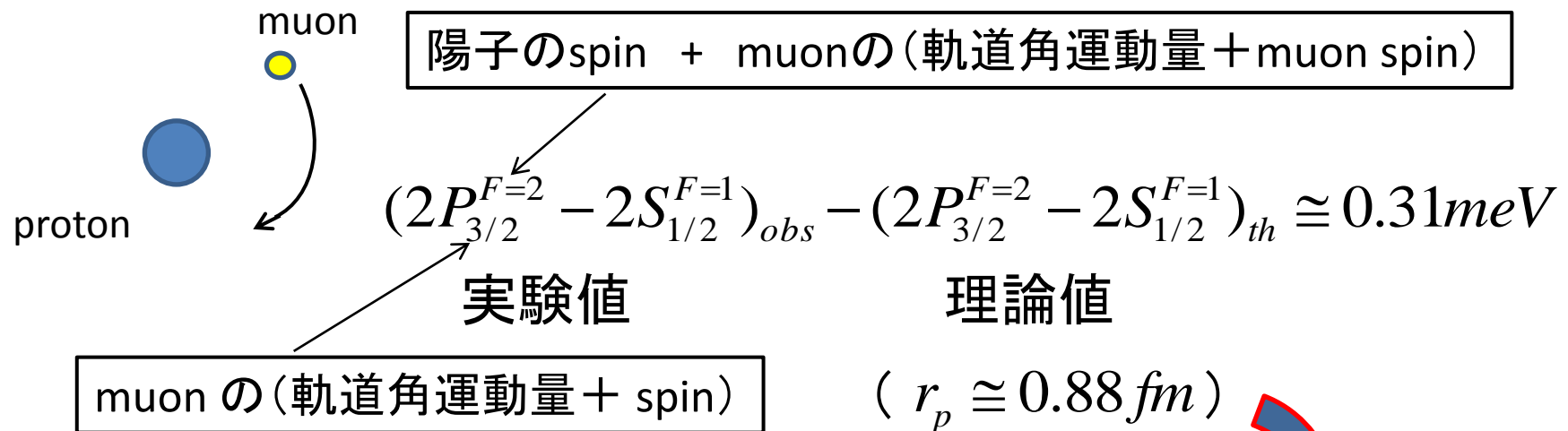
CODATA 2010

arXiv:1203.5425v1

# 陽子半径問題

## Muon 水素原子のスペクトル

$$F = S_p + L_m + S_m$$

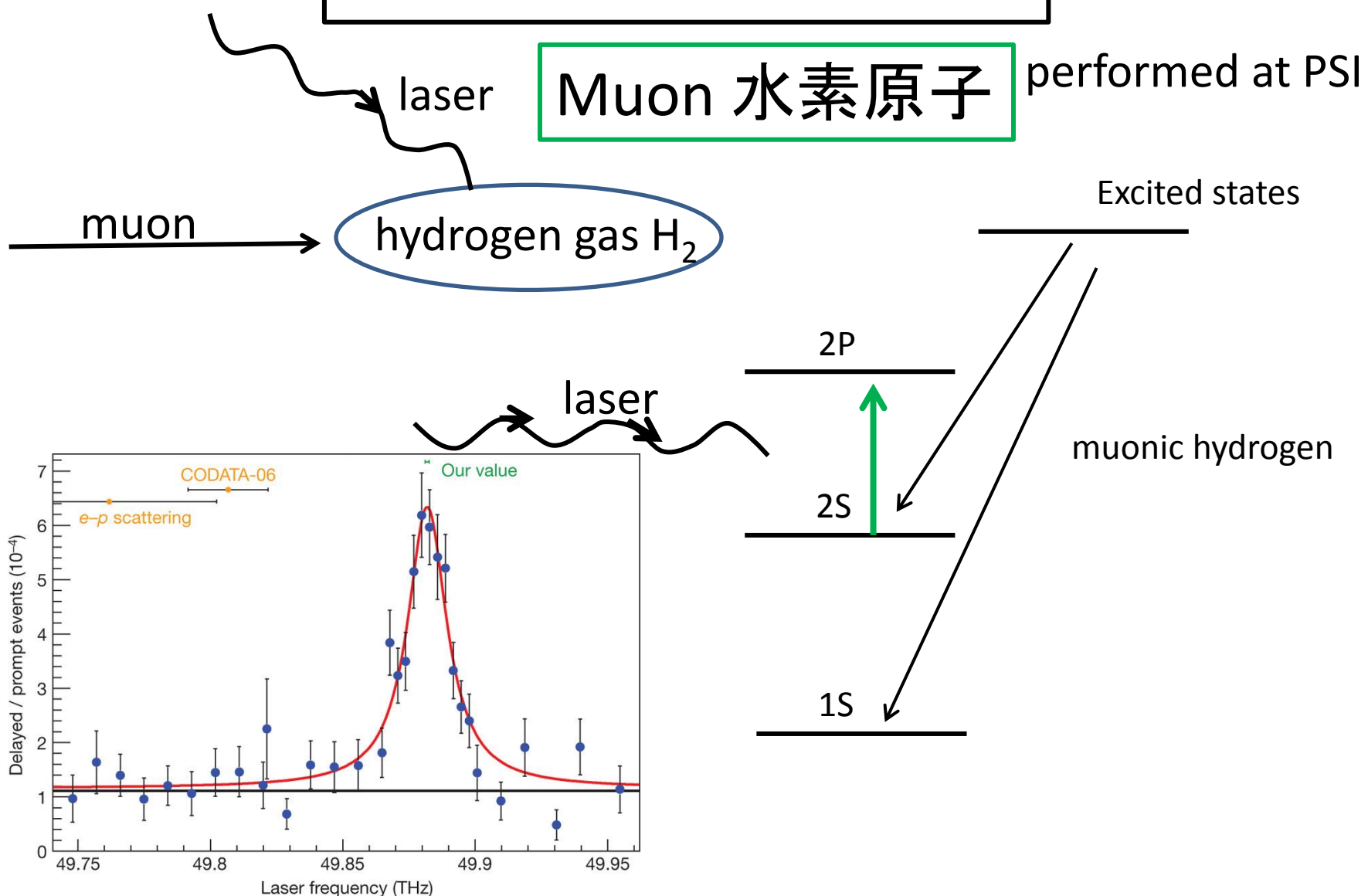


$$(2P_{3/2}^{F=2} - 2S_{1/2}^{F=1})_{obs} - (2P_{3/2}^{F=2} - 2S_{1/2}^{F=1})_{th} = 0$$

$$(r_p \cong 0.84\text{fm})$$

不一致!!

# 陽子半徑問題



# 陽子半径問題の解決

Muon 磁場の影響で、陽子質量変化

陽子質量はカイラル凝縮  $\langle \bar{q}q \rangle$  で決まる

(陽子中の値) (真空値)  
カイラル凝縮は磁場依存  $\langle \bar{q}q \rangle_B = \langle \bar{q}q \rangle_{B=0} + \delta \langle \bar{q}q \rangle$

磁気能率による内部磁場  $B_p$



$$B = B_p + B_\mu; B_p \gg B_\mu$$

$B_\mu$  muon磁場

真空中

$$\langle \bar{q}q \rangle_{B=0}$$

陽子中

$$\langle \bar{q}q \rangle_B$$

# 陽子半径問題の解決

Ioffe's formula; Ioffe, Nucl. Phys. B (1981)

$$M_p = \frac{-4\pi^2 \langle \bar{q}q \rangle_B}{\Lambda_{OCD}^2}$$

chiral perturbation , lattice gauge; Shushpanov and Smilga, Phys. Lett. B (1997)

$$\langle \bar{q}q \rangle_B = \langle \bar{q}q \rangle_{B=0} \left( 1 + \frac{(e\vec{B})^2}{96\pi^2 F_\pi^2 m_\pi^2} \right) \quad \text{when } eB \ll m_\pi^2$$

陽子の内部磁場  $\vec{B}_p$  と muon 磁場  $\vec{B}_\mu$

$$\vec{B} = \vec{B}_p + \vec{B}_\mu \quad \text{陽子が作る磁場} \rightarrow \vec{B}_p = 2B_p \vec{S}_p$$

$$\vec{B}_\mu = \frac{e}{2m_\mu} \frac{\vec{l}}{4\pi r^3} + \frac{1}{4\pi r^3} \left( \frac{3(\vec{\mu} \cdot \vec{r})\vec{r}}{r^2} - \vec{\mu} \right) + \frac{2\vec{\mu}}{3} \delta^3(\vec{r}) \quad (\text{muonが作る磁場})$$

proton spin  
muon magnetic moment  
 $\vec{\mu} = -g_\mu \frac{e}{2m_\mu} \vec{S}_\mu$

# 陽子半径問題の解決

## muon磁場による陽子質量変化

$$\delta M_p \equiv M_p(B_p + B_\mu) - M_p(B_p) = M_p \frac{<\bar{q}q>_{B_p+B_\mu} - <\bar{q}q>_{B_p}}{<\bar{q}q>_{B_p}}$$

$$= M_p \frac{e\vec{B}_p \cdot e\vec{B}_\mu}{48\pi^2 F_\pi^2 m_\pi^2}$$

### 状態関数による期待値

$$M_p = 938 MeV, \quad m_\mu = 106 MeV$$
$$m_\pi = 140 MeV, \quad \alpha = e^2/4\pi = 1/137$$

$$<\delta M_p> = M_p \frac{<e\vec{B}_p \cdot e\vec{B}_\mu>}{48\pi^2 F_\pi^2 m_\pi^2} \cong -0.39 \frac{eB_p}{F_\pi^2} meV (2S_{1/2}^{F=1})$$

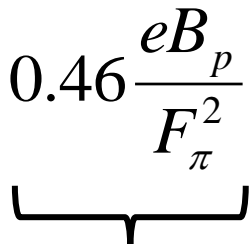
$$\cong 0.068 \frac{eB_p}{F_\pi^2} meV (2P_{3/2}^{F=2})$$

# 陽子半径問題の解決

## 陽子質量変化を取り入れた結果

$$(2P_{3/2}^{F=2} - 2S_{1/2}^{F=1})_{obs} - (2P_{3/2}^{F=2} - 2S_{1/2}^{F=1})_{th} \cong 0.31\text{meV} - 0.46 \frac{eB_p}{F_\pi^2} \text{meV}$$

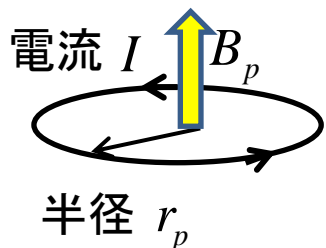
(  $r_p = 0.88\text{fm}$  )



$$0.46 \times 0.04 = 0.184$$

$$B_p = ?$$

陽子の磁気能率  $\mu_p (= \frac{g_p e}{4M_p}; g_p \cong 5.6)$  による内部磁場



$$eB_\mu \approx (10^{-3}\text{MeV})^2$$

$$B_p = \frac{I}{2r_p}, \quad \mu_p = \pi r_p^2 I$$

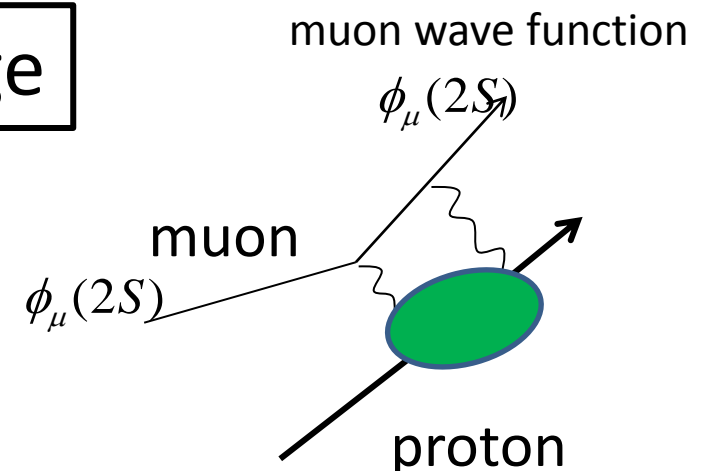
$$= \frac{\mu_p}{2\pi r_p^3} = \frac{g_p e}{8\pi r_p^3 M_p} \cong (29\text{MeV})^2$$

pion decay constant  
 $F_\pi \cong 90\text{MeV}$

$$\frac{eB_p}{F_\pi^2} \approx 0.04$$

## Two photon exchange

Contribution of the two photon exchange is of the order of  $\alpha^5$



$$(\phi_\mu(2S))^2 \propto \alpha^3$$

$$\delta M_p = \frac{-\alpha^4 \bar{m}_\mu^3 M_p}{288\pi^2 m_\pi^2 m_\mu} \frac{eB_p}{F_\pi^2} (2S_{1/2}^{F=1}) \propto \alpha^5$$

$$= \frac{7\alpha^4 \bar{m}_\mu^3 M_p}{11520\pi^2 m_\pi^2 m_\mu} \frac{eB_p}{F_\pi^2} (2P_{3/2}^{F=2})$$

$$\bar{m}_\mu \equiv \frac{m_\mu M_p}{m_\mu + M_p}; \text{ reduced mass}$$

$$eB_p = \frac{g_p e^2}{8\pi r_p^3 M_p} \propto \alpha$$

Effects of two photon exchange are believed to be small in the region of  $Q \rightarrow 0$ .    ???.

# 陽子半径問題の解決

## 問題点

質量の  $\langle \bar{q}q \rangle_B$  依存性

?  $M_p = \frac{-4\pi^2 \langle \bar{q}q \rangle_B}{\Lambda_{QCD}^2}$  あるいは?  $M_p = \text{cont.} \times (\langle \bar{q}q \rangle_B)^{1/3}$

$\langle \bar{q}q \rangle_B$  の磁場依存性

?  $\langle \bar{q}q \rangle_B = \langle \bar{q}q \rangle_{B=0} \left(1 + \frac{(e\vec{B})^2}{96\pi^2 F_\pi^2 m_\pi^2}\right)$  when  $eB \ll m_\pi^2$

この数値は正しい?

陽子の内部磁場

?  $B_p = \frac{\mu_p}{2\pi r_p^3} = \frac{g_p e}{8\pi r_p^3 M_p} = (29 MeV)^2$  磁気能率からの単純な評価?

# 結論

いくつかの数値的曖昧さはあるが、それらは格子ゲージ理論できちんと評価可能

曖昧さを考慮すると、陽子半径問題に対する解決策になると思われる。

$$(2P_{3/2}^{F=2} - 2S_{1/2}^{F=1})_{obs} - (2P_{3/2}^{F=2} - 2S_{1/2}^{F=1})_{th} \approx 0.31 meV - 0.46 \underbrace{\frac{eB_p}{F_\pi^2}}_{0.184 meV} meV$$

with  $r_p = 0.88 fm$

## electron 磁場による陽子質量変化

$$\delta M_p = \frac{-\alpha^4 \bar{m}_e^3 M_p}{288\pi^2 m_\pi^2 m_e} \frac{eB_p}{F_\pi^2} (2S_{1/2}^{F=1}) \cong -1.2 \times 10^{-5} \frac{eB_p}{F_\pi^2} \text{meV} \quad \bar{m}_e \equiv \frac{m_e M_p}{m_e + M_p}$$
$$= \frac{7\alpha^4 \bar{m}_e^3 M_p}{11520\pi^2 m_\pi^2 m_e} \frac{eB_p}{F_\pi^2} (2P_{3/2}^{F=2}) \cong 2.2 \times 10^{-6} \frac{eB_p}{F_\pi^2} \text{meV}$$